

Tests d'intégrité d'hyperviseurs de machines virtuelles à distance et assisté par le matériel

Benoît Morgan, Éric Alata, Vincent Nicomette

LAAS-CNRS, INSA Toulouse

14 juin 2014



LAAS-CNRS

The logo for LAAS-CNRS features the text "LAAS-CNRS" in a bold, blue, sans-serif font. It is framed by a thick horizontal bar that is purple on top and yellow on the bottom.

- 1 Introduction
- 2 Test d'intégrité
- 3 Etat des lieux et perspectives

Plan

- 1 Introduction
- 2 Test d'intégrité
- 3 Etat des lieux et perspectives

Contexte des travaux

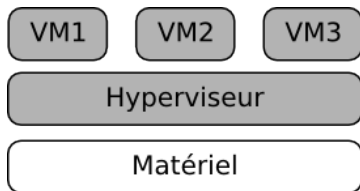
Projet SVC – *Secure Virtual Cloud*

- Projet Investissement d'Avenir
Itrust, Bull, Gosis, Eneed, Secludit, Eurogiciel, Val Informatique, Blue Mind, LAAS-CNRS, IRIT,
- Coordinateur du projet : Bull

Contributions du LAAS – 3 thèses

- Évaluation de la sûreté de fonctionnement dans le *cloud*
- Évaluation et analyse de la sécurité dans le *cloud*
- **Sécurisation de gestionnaires de machines virtuelles**

Virtualisation dans le Cloud



Hypothèses

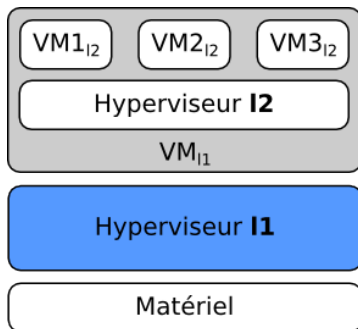
- Exécution, au dessus du même *hyperviseur*, de machines virtuelles appartenant à des clients différents
- Utilisation de plateformes Intel

Risques à prendre en compte : machine virtuelle malveillante

- Compromission de l'*hyperviseur*
- Désactivation de l'*hyperviseur*
- Installation d'un *hyperviseur* "malveillant"

Approche envisagée

⇒ Utilisation de la *nested virtualisation*



Quid des attaques provenant du matériel ?
Nécessité d'un composant matériel de confiance

Composant utilisable pour réaliser les tests d'intégrité

- Utilisation de Intel AMT
- Instrumentation du mode SMM
- Utilisation de Intel SGX
- **Utilisation d'un périphérique PCIe dédié**
Développement simplifié à partir d'un FPGA

⇒ Test de l'intégrité à distance avec un périphérique PCIe/FPGA

Plan

- 1 Introduction
- 2 Test d'intégrité
 - Caractérisation de l'intégrité
 - Développement du périphérique PCI Express
 - Cas d'utilisation
- 3 Etat des lieux et perspectives

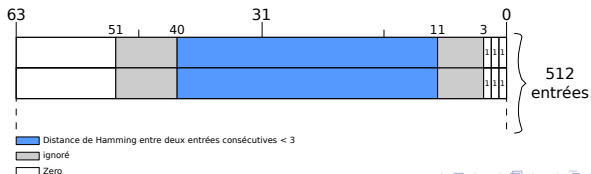
Empreinte mémoire d'un hyperviseur

Espace mémoire utilisé par un hyperviseur

- Code.
- Données.
- Structures de contrôle du processeur.
 - Table de pages et tables de page EPT.
 - Table de vecteurs d'interruptions.
 - Structure de contrôle de machine virtuelle (VMCS).

⇒ Construction d'empreintes mémoire.

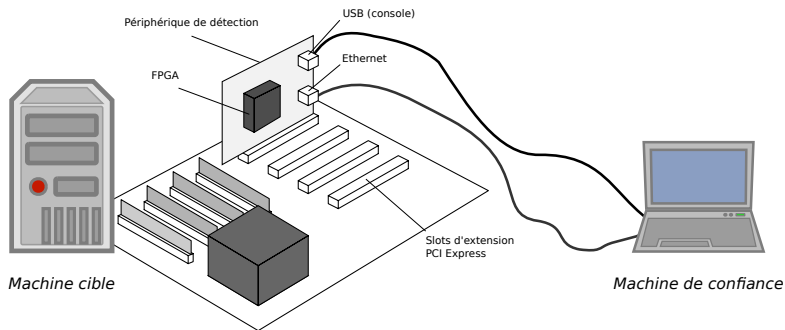
Exemple : table de page EPT en *identity mapping*.



Vérification

- Modifications de l'hyperviseur.
⇒ Modification du code, des données, des structures de contrôle.
- Désactivation de l'hyperviseur.
⇒ Non évolution significative des données et des VMCS.
- Relocalisation de l'hyperviseur.
⇒ détection de nouveaux espaces mémoire de logiciels bas niveau.

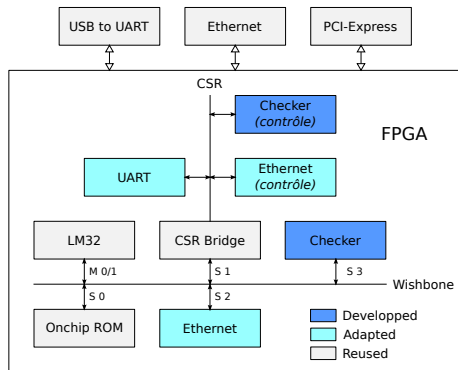
Utilisation du périphérique de détection



- Nombre d'empreintes mémoire variable et élevé.
- Balayage de tout l'espace mémoire.
- Besoin d'un processeur dédié.

⇒ FPGA.

Architecture du System On Chip



ERIC (Electronic Remote Integrity Checker)

Basé sur IronHide et Milkymist

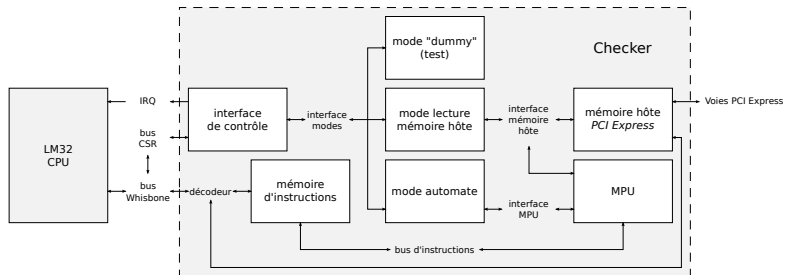
Composants

- Processeur généraliste.
- ROM (BIOS).
- Checker.
- Interface Ethernet.
- UART.

Fonctionnalités

- Débugger.
- Charger et exécuter du logiciel.
- Caractériser les zones mémoire.
- Remonter des alertes.

Principales fonctions du *Checker*



- Accéder aux pages mémoire hôte.
- Exécuter des automates de détection de motifs mémoire.
- Interrompre le LM32.

Co-processeur MPU

| Code | mnémonique | Description |
|------|------------|---|
| 0x1 | mask | Vérifie les bit autorisés à 0 et 1, saute si faux |
| 0x2 | equ | Compare deux registres, saute si différent |
| 0x3 | inf | Compare deux registres, saute si supérieur ou égal |
| 0x4 | add | Addition |
| 0x5 | hamm | Calcule la distance de Hamming entre deux registres |
| 0xc | int | Interruption logicielle |
| 0xd | mload | Chargement d'un mot mémoire hôte |
| 0xe | load | Chargement d'une valeur immédiate |
| 0xf | jmp | Saut inconditionnel |

- Format 1 : OP, r1, [r2, [r3, [r4]]].
- Format 2 : OP, r1, valeur immédiate (8, 16, 32).
- Jeux d'instructions spécialisé.

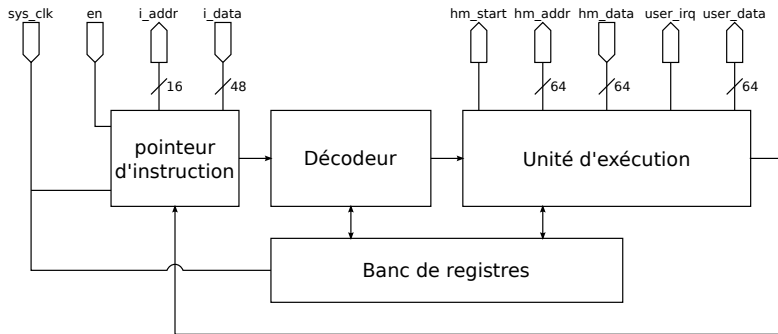
⇒ Gain de performances.

Distance de Hamming en C

```
uint8_t hamdist(uint64_t x, uint64_t y, uint64_t bs) {  
    uint8_t dist = 0;  
    uint64_t val = (x & bs) ^ (y & bs);  
    // Count the number of set bits  
    while (val) {  
        ++dist;  
        val &= val - 1;  
    }  
    return dist;  
}
```

64 itérations dans le pire des cas.

Architecture du MPU



Cas d'utilisation

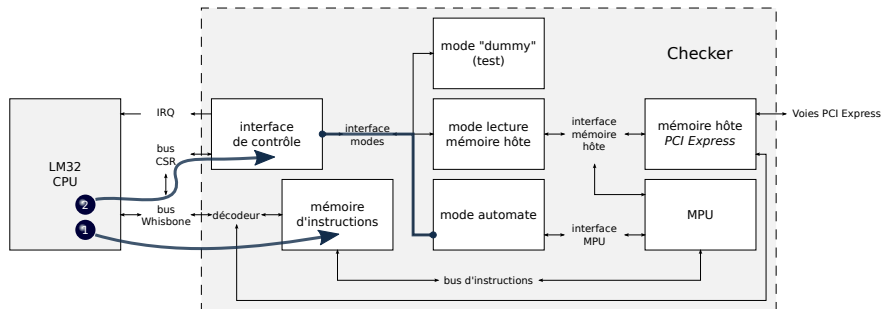
Recherche d'espaces mémoire de malwares au travers de la reconnaissance de structures de contrôle des cœurs du processeur.

- 1 Initialisation des composants.
- 2 Calcul de l'adresse de la prochaine page à analyser.
- 3 Exécution du MPU sur la page.
- 4 Prise de décision (alertes, statistiques).
- 5 Retour à l'étape 2.

Automate de reconnaissance d'une table de pages EPT

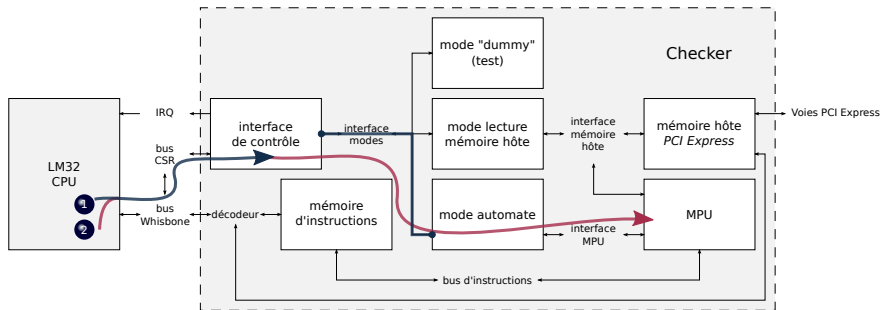
```
start:
    loadw r2, $0x1000 // Maximum page offset
    loadw r3, $0x3 // Maximum expected Hamming distance : 2 + 1
    loadl r6_0, $0xfffff000 // Bit select for Hamming distance
    loadl r6_1, $0x0000000f
    loadw r7, $no_ept_end
    loadw r8, $entry
    loadw r9, $ept_end
    loadb r10, $0x8 // Increment
entry:
    infw r1, r2, r9 // Loop stop condition
    movq r5, r4 // Remember the last entry
    mloadq r4, r1 // Load the current entry
    hammq r10, r4, r5, r6 // Compute Hamming distance
    infb r10, r3, r7 // Is Hamming < 3 ?
    add r1, r1, r10 // Go to next entry
    jmpw r8 // Loop
ept_end:
    intq r3 // Notifies that EPT 4k page table entry is found
no_ept_end:
    intq r0 // intq $0x0, end of execution
```

Étape 1 : initialisation des composants



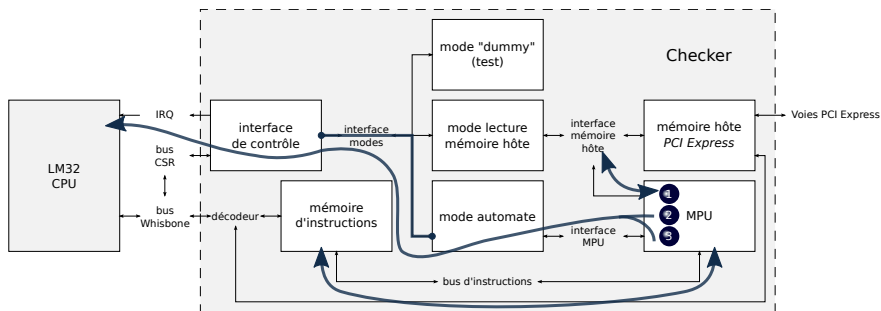
- 1 Téléchargement du binaire du MPU : motifs mémoire.
- 2 Sélection du mode d'exécution.

Étape 2 : Configuration de la page à analyser



- 1 Configuration de l'adresse de la page.
- 2 Démarrage du checker en mode automate.

Étape 3 : exécution et interruptions



- 1 Accès mémoire hôte.
- 2 Interruptions utilisateur.
- 3 Fin d'exécution du MPU.

Plan

- 1 Introduction
- 2 Test d'intégrité
- 3 Etat des lieux et perspectives
 - État des lieux
 - Perspectives

Développements

| Composant | État |
|--------------|------|
| UART | ✗ |
| Ethernet | ✗ |
| Checker | ✗ |
| MPU | ✗ |
| Binutils MPU | ✗ |
| Mémoire Hôte | ⚠ |

| Automate | État |
|----------------------------------|------|
| Caractérisation d'un hyperviseur | ⚠ |
| Construction d'empreintes | ⚠ |
| Superposition des empreintes | ⚠ |

Perspectives

- Finalisation du composant de réception.
- Preuves de concepts sur différentes attaques.
- Détection de malwares ?
- Sniffer PCI Express ?

Tests d'intégrité d'hyperviseurs de machines virtuelles à distance et assisté par le matériel

Benoît Morgan, Éric Alata, Vincent Nicomette

LAAS-CNRS, INSA Toulouse

14 juin 2014



LAAS-CNRS

The logo consists of the text "LAAS-CNRS" in a bold, blue, sans-serif font. It is framed by a thick red horizontal line above and a thick yellow horizontal line below.